

Starkniederschlagshöhen und -spenden gemäß KOSTRA-DWD-2020

Rasterfeld 180152

(Zeile 180, Spalte 152)

Regenspende und Bemessungsniederschlagswerte in Abhängigkeit von Wiederkehrzeit T und Dauerstufe D

| Dauerstufe D | | Wiederkehrzeit T | | | | | | | | | | | | | | | | | |
|--------------|-----|------------------|------------|------|------------|------|------------|------|------------|------|------------|-------|------------|-------|------------|-------|------------|-------|------------|
| | | 1 a | | 2 a | | 3 a | | 5 a | | 10 a | | 20 a | | 30 a | | 50 a | | 100 a | |
| min | Std | mm | l / (s ha) | mm | l / (s ha) | mm | l / (s ha) | mm | l / (s ha) | mm | l / (s ha) | mm | l / (s ha) | mm | l / (s ha) | mm | l / (s ha) | mm | l / (s ha) |
| 5 | | 7,8 | 260,0 | 9,6 | 320,0 | 10,6 | 353,3 | 12,1 | 403,3 | 14,1 | 470,0 | 16,2 | 540,0 | 17,6 | 586,7 | 19,4 | 646,7 | 22,0 | 733,3 |
| 10 | | 9,9 | 165,0 | 12,1 | 201,7 | 13,5 | 225,0 | 15,3 | 255,0 | 17,9 | 298,3 | 20,5 | 341,7 | 22,3 | 371,7 | 24,6 | 410,0 | 27,9 | 465,0 |
| 15 | | 11,2 | 124,4 | 13,7 | 152,2 | 15,2 | 168,9 | 17,3 | 192,2 | 20,2 | 224,4 | 23,2 | 257,8 | 25,2 | 280,0 | 27,8 | 308,9 | 31,5 | 350,0 |
| 20 | | 12,1 | 100,8 | 14,8 | 123,3 | 16,5 | 137,5 | 18,7 | 155,8 | 21,9 | 182,5 | 25,2 | 210,0 | 27,3 | 227,5 | 30,1 | 250,8 | 34,1 | 284,2 |
| 30 | | 13,5 | 75,0 | 16,5 | 91,7 | 18,4 | 102,2 | 20,9 | 116,1 | 24,4 | 135,6 | 28,1 | 156,1 | 30,4 | 168,9 | 33,6 | 186,7 | 38,1 | 211,7 |
| 45 | | 15,0 | 55,6 | 18,4 | 68,1 | 20,4 | 75,6 | 23,2 | 85,9 | 27,1 | 100,4 | 31,2 | 115,6 | 33,8 | 125,2 | 37,3 | 138,1 | 42,3 | 156,7 |
| 60 | 1 | 16,1 | 44,7 | 19,8 | 55,0 | 22,0 | 61,1 | 24,9 | 69,2 | 29,1 | 80,8 | 33,5 | 93,1 | 36,3 | 100,8 | 40,1 | 111,4 | 45,4 | 126,1 |
| 90 | 1,5 | 17,9 | 33,1 | 21,8 | 40,4 | 24,3 | 45,0 | 27,5 | 50,9 | 32,2 | 59,6 | 37,0 | 68,5 | 40,2 | 74,4 | 44,3 | 82,0 | 50,2 | 93,0 |
| 120 | 2 | 19,2 | 26,7 | 23,4 | 32,5 | 26,1 | 36,3 | 29,5 | 41,0 | 34,6 | 48,1 | 39,7 | 55,1 | 43,1 | 59,9 | 47,5 | 66,0 | 53,9 | 74,9 |
| 180 | 3 | 21,1 | 19,5 | 25,8 | 23,9 | 28,8 | 26,7 | 32,6 | 30,2 | 38,1 | 35,3 | 43,8 | 40,6 | 47,5 | 44,0 | 52,4 | 48,5 | 59,4 | 55,0 |
| 240 | 4 | 22,6 | 15,7 | 27,7 | 19,2 | 30,8 | 21,4 | 34,9 | 24,2 | 40,8 | 28,3 | 46,9 | 32,6 | 50,9 | 35,3 | 56,2 | 39,0 | 63,7 | 44,2 |
| 360 | 6 | 24,9 | 11,5 | 30,5 | 14,1 | 33,9 | 15,7 | 38,5 | 17,8 | 45,0 | 20,8 | 51,7 | 23,9 | 56,1 | 26,0 | 61,9 | 28,7 | 70,1 | 32,5 |
| 540 | 9 | 27,5 | 8,5 | 33,6 | 10,4 | 37,4 | 11,5 | 42,4 | 13,1 | 49,5 | 15,3 | 56,9 | 17,6 | 61,8 | 19,1 | 68,1 | 21,0 | 77,2 | 23,8 |
| 720 | 12 | 29,4 | 6,8 | 36,0 | 8,3 | 40,0 | 9,3 | 45,4 | 10,5 | 53,0 | 12,3 | 61,0 | 14,1 | 66,2 | 15,3 | 73,0 | 16,9 | 82,7 | 19,1 |
| 1080 | 18 | 32,4 | 5,0 | 39,6 | 6,1 | 44,1 | 6,8 | 49,9 | 7,7 | 58,4 | 9,0 | 67,1 | 10,4 | 72,8 | 11,2 | 80,3 | 12,4 | 91,0 | 14,0 |
| 1440 | 24 | 34,6 | 4,0 | 42,4 | 4,9 | 47,2 | 5,5 | 53,4 | 6,2 | 62,5 | 7,2 | 71,8 | 8,3 | 78,0 | 9,0 | 86,0 | 10,0 | 97,5 | 11,3 |
| 2880 | 48 | 40,8 | 2,4 | 49,9 | 2,9 | 55,6 | 3,2 | 63,0 | 3,6 | 73,6 | 4,3 | 84,6 | 4,9 | 91,8 | 5,3 | 101,3 | 5,9 | 114,8 | 6,6 |
| 4320 | 72 | 44,9 | 1,7 | 54,9 | 2,1 | 61,1 | 2,4 | 69,3 | 2,7 | 81,0 | 3,1 | 93,1 | 3,6 | 101,1 | 3,9 | 111,5 | 4,3 | 126,3 | 4,9 |
| 5760 | 96 | 48,1 | 1,4 | 58,8 | 1,7 | 65,4 | 1,9 | 74,2 | 2,1 | 86,7 | 2,5 | 99,7 | 2,9 | 108,2 | 3,1 | 119,3 | 3,5 | 135,2 | 3,9 |
| 7200 | 120 | 50,7 | 1,2 | 62,0 | 1,4 | 69,0 | 1,6 | 78,2 | 1,8 | 91,4 | 2,1 | 105,1 | 2,4 | 114,0 | 2,6 | 125,7 | 2,9 | 142,5 | 3,3 |
| 8640 | 144 | 52,9 | 1,0 | 64,7 | 1,2 | 72,0 | 1,4 | 81,6 | 1,6 | 95,4 | 1,8 | 109,7 | 2,1 | 119,0 | 2,3 | 131,3 | 2,5 | 148,8 | 2,9 |
| 10080 | 168 | 54,9 | 0,9 | 67,1 | 1,1 | 74,7 | 1,2 | 84,6 | 1,4 | 99,0 | 1,6 | 113,8 | 1,9 | 123,5 | 2,0 | 136,1 | 2,3 | 154,3 | 2,6 |

Starkniederschlagshöhen und -spenden gemäß KOSTRA-DWD-2020

Rasterfeld 180152

(Zeile 180, Spalte 152)

Örtliche Unsicherheiten in Abhängigkeit von Wiederkehrzeit T und Dauerstufe D

| Dauerstufe D | | Wiederkehrzeit T | | | | | | | | |
|--------------|-----|------------------|-----|-----|-----|------|------|------|------|-------|
| | | 1 a | 2 a | 3 a | 5 a | 10 a | 20 a | 30 a | 50 a | 100 a |
| min | Std | ± % | ± % | ± % | ± % | ± % | ± % | ± % | ± % | ± % |
| 5 | | 13 | 14 | 14 | 15 | 15 | 16 | 16 | 17 | 17 |
| 10 | | 16 | 18 | 18 | 19 | 20 | 21 | 21 | 21 | 22 |
| 15 | | 18 | 20 | 20 | 21 | 22 | 23 | 23 | 23 | 24 |
| 20 | | 19 | 20 | 21 | 22 | 23 | 24 | 24 | 25 | 25 |
| 30 | | 20 | 21 | 22 | 23 | 24 | 24 | 25 | 25 | 26 |
| 45 | | 20 | 21 | 22 | 23 | 24 | 25 | 25 | 25 | 26 |
| 60 | 1 | 19 | 21 | 22 | 23 | 24 | 24 | 25 | 25 | 26 |
| 90 | 1,5 | 19 | 20 | 21 | 22 | 23 | 24 | 24 | 24 | 25 |
| 120 | 2 | 18 | 20 | 20 | 21 | 22 | 23 | 23 | 24 | 24 |
| 180 | 3 | 17 | 18 | 19 | 20 | 21 | 22 | 22 | 23 | 23 |
| 240 | 4 | 16 | 18 | 18 | 19 | 20 | 21 | 21 | 22 | 22 |
| 360 | 6 | 15 | 17 | 17 | 18 | 19 | 20 | 20 | 21 | 21 |
| 540 | 9 | 15 | 16 | 16 | 17 | 18 | 19 | 19 | 20 | 20 |
| 720 | 12 | 14 | 15 | 16 | 17 | 17 | 18 | 18 | 19 | 19 |
| 1080 | 18 | 14 | 15 | 15 | 16 | 17 | 17 | 17 | 18 | 18 |
| 1440 | 24 | 14 | 15 | 15 | 15 | 16 | 17 | 17 | 17 | 18 |
| 2880 | 48 | 15 | 15 | 15 | 15 | 16 | 16 | 16 | 17 | 17 |
| 4320 | 72 | 15 | 15 | 15 | 15 | 16 | 16 | 16 | 17 | 17 |
| 5760 | 96 | 16 | 16 | 16 | 16 | 16 | 16 | 17 | 17 | 17 |
| 7200 | 120 | 17 | 16 | 16 | 16 | 17 | 17 | 17 | 17 | 17 |
| 8640 | 144 | 17 | 17 | 17 | 17 | 17 | 17 | 17 | 17 | 17 |
| 10080 | 168 | 18 | 17 | 17 | 17 | 17 | 17 | 17 | 18 | 18 |

Parameter für abweichende T und D

Lokationsparameter ξ (Xi)

16,38730449

Skalenparameter α (Alpha)

5,08204187

Formparameter κ (Kappa)

-0,1

1. Koutsoyiannis-Parameter θ (Theta)

0,01843883

2. Koutsoyiannis-Parameter η (Eta)

0,764061

Parameter für dauerstufenübergreifende Extremwertschätzung nach KOUTSOYIANNIS et al. 1998.

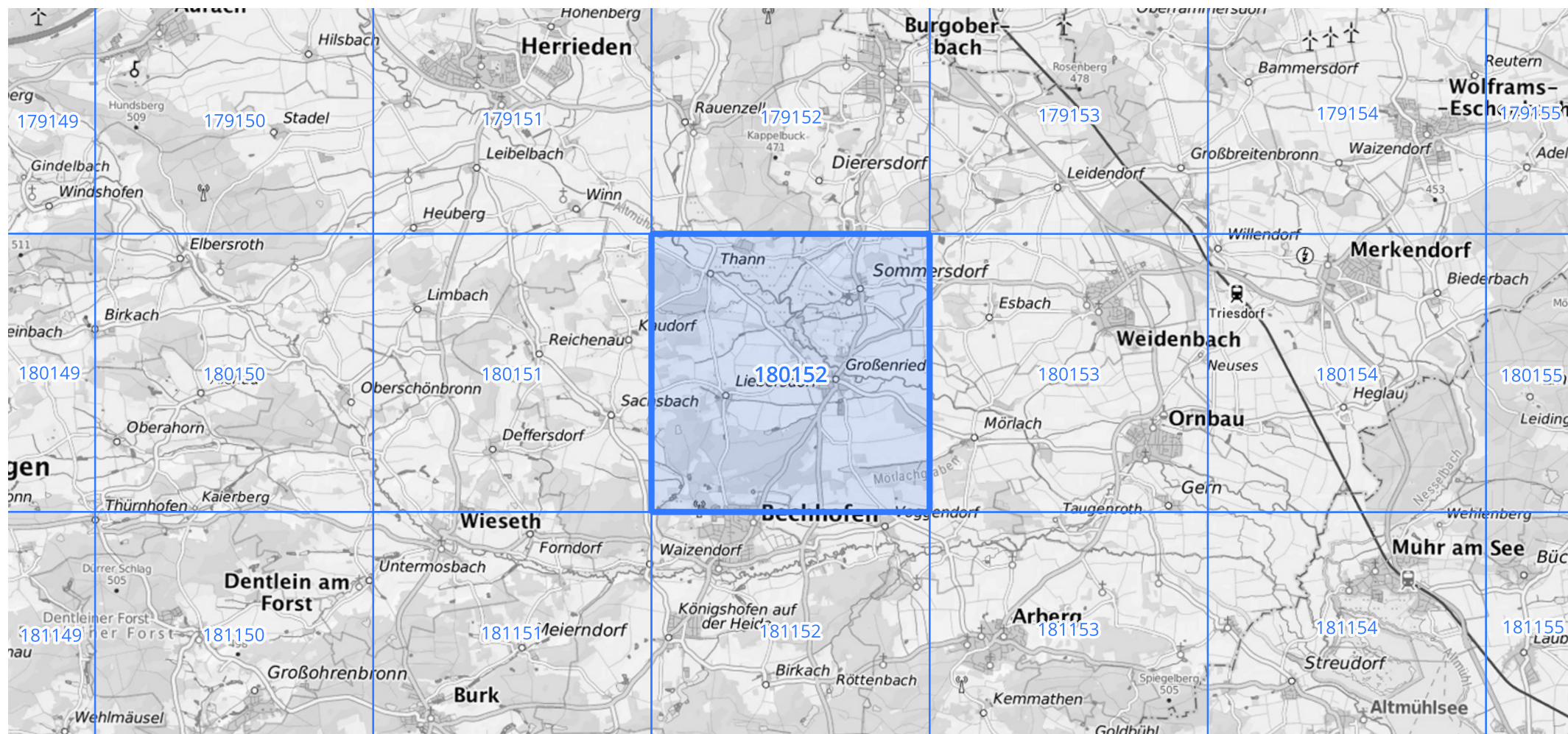
Siehe auch Anwendungshilfe zu KOSTRA-DWD-2020 des Deutschen Wetterdienstes.

Starkniederschlagshöhen und -spenden gemäß KOSTRA-DWD-2020

Rasterfeld 180152

(Zeile 180, Spalte 152)

Übersichtskarte des Rasterfeldes 180152, M 1 : 100 000



Quelle Rasterdaten: KOSTRA-DWD-2020 des Deutschen Wetterdienstes, Stand 12/2022.

Seite 3 von 3

Kartendarstellung: © Bundesamt für Kartographie und Geodäsie (2023), Datenquellen: https://sgx.geodatenzentrum.de/web_public/gdz/datenquellen/Datenquellen_TopPlusOpen.html

Für die Richtigkeit und Aktualität der Angaben wird keine Gewähr übernommen. Erstellt 01/2023.